

(HUANJING KEXUE)

ENVIRONMENTAL SCIENCE

第39卷 第1期

Vol.39 No.1

2018

中国科学院生态环境研究中心 主办

科学出版社出版



ENVIRONMENTAL SCIENCE

第39卷 第1期 2018年1月15日

目 次

2006~2015年北京市不同地区 O ₃ 浓度变化············王占山,李云婷,安欣欣,李倩,孙乃迪,王步英,潘锦秀(1)南京北郊黑碳气溶胶的来源解析············肖思晗,于兴娜,朱彬,何镓祺,吕睿,沙丹丹(9)电镀厂周边大气 PM ₁₀ 中重金属季节性分布特征及生态风险评价
2006~2015 年北京市不同地区 O, 浓度变化 王占山,李云婷,安欣欣,李倩,孙乃迪,王步英,潘锦秀(1)南京北郊黑碳气溶胶的来源解析
实际公司。
氨化松香基交联聚合树脂对水中诺氟沙星的吸附性能 ——马亚红,黄婉婷,刁开盛,李鹏飞,谭学才,董慧峪,覃方夸,雷福厚,刘绍刚(161)铁锰泥除砷颗粒吸附剂对As(V)的吸附去除 曾辉平,吕赛赛,杨航,尹灿,曹瑞华,王艳菊,李冬,张杰(170)水铁矿及其胶体对砷的吸附与吸附形态 马玉玲,马杰,陈雅丽,雷梅,郭华明,翁莉萍,李永涛(179)阳(阴)离子复配修饰两性磁性膨润土的表面特征差异及对苯酚吸附的影响 任爽,孟昭福,王腾,张洋,田凯,刘伟,闫东旭(187)典型城市污水中对羟基苯甲酸酯的污染特征 赵雪,张子峰,祝富杰,李一凡,马万里(195)水力停留时间对活性炭生物转盘处理污染河水的影响 许雯佳,成小英(202)环丙沙星对膜生物反应器运行效能的影响及其去除特性 戴琦,刘锐,舒小铭,张永明,陈吕军(212)AAO工艺低氧条件下的运行及其模拟 曹特特,王林,李咏梅(219)磷酸盐对亚硝化系统的抑制及恢复 顾澄伟,陈方敏,李祥,张程锦(227)碳源对污水处理厂 SAD 工艺小试的影响 李冬,赵世勋,王俊安,朱金凤,关宏伟,张杰(232)容积负荷对 ABR-MBR 工艺反硝化除磷性能的影响 李冬,赵世勋,王俊安,朱金凤,关宏伟,张杰(232)容积负荷对 ABR-MBR 工艺反硝化除磷性能的影响 李冬,赵世勋,王俊安,朱金凤,关宏伟,张杰(232)交替好氧/缺氧运行模式对生物脱氮效能及活性污泥胞外聚合物的影响
外洪伟,陈翠忠,吴长峰,赵华南,于雪,方晓航(256) 纳米零价铁对升流式颗粒污泥床反硝化性能的影响 ·············周丰,王翻翻,钱飞跃,黄慧敏,沈耀良,周建民(263) 高会周污泥匠菊消化中 Fo/S 及 pH 对原位机硫效率影响及其交互作用 ····································
等芸,曹玉芹,卓杨,王晓飞,韩雅婷,彭党聪(269) 浑河流域贮存污泥成分特征及演变规律分析
下の場所が相元音帳間人的切恋受化及兵利施風的响应: C-CO2
控源及改良措施对稻田土壤和水稻镉累积的影响 封文利,郭朝晖,史磊,肖细元,韩晓晴,冉洪珍,薛清华(399) 典型土壤双季稻对 Cd 吸收累积差异 李欣阳,龙坚,王树兵,陈齐,董霞,蒋凯,侯红波,彭佩钦,廖柏寒(406)
松花江上研兴及冯亚切开采区户事时万永分市得证。

海洋沉积物中硫酸盐还原菌和硫氧化菌群落分析方法 的比较

张玉^{1,2,3},米铁柱^{1,2,3},甄毓^{1,2,3}*,陈烨^{2,3,4},付璐璐^{2,3,4},王勋功^{1,2,3}

(1. 中国海洋大学环境科学与工程学院,青岛 266100; 2. 海洋环境与生态教育部重点实验室,青岛 266100; 3. 青岛海洋科学与技术国家实验室海洋生态与环境科学功能实验室,青岛 266071; 4. 中国海洋大学海洋生命学院,青岛 266003)

摘要: 硫酸盐还原菌(sulfate-reducing prokaryotes, SRP)和硫氧化菌(sulfur-oxidizing prokaryotes, SOP)在硫的生物地球化学循环中发挥着极为重要的作用. 本文以 SRP 作为高丰富度高多样性菌群代表,针对于 SRP 所共有的异化型亚硫酸盐还原酶 (dissimilatory sulphite reductase, DSR)中的 β 亚基基因(dsrB),通过克隆文库技术、454 高通量测序技术和 Illumina 高通量测序技术对其群落特征进行比较分析. 结果表明,Illumina 高通量测序技术优于 454 高通量测序技术和克隆文库技术,特别在低丰度物种的检测方面,Illumina 高通量测序技术具有明显优势. 以 SOP soxB 基因(\sim 750 bp)作为较长基因片段的代表,分别采用 454 高通量测序技术和 Illumina 单端高通量测序技术对 SOP 群落组成和多样性信息进行比较分析,结果表明,454 高通量测序技术在读长上的优势并未体现出来,而 Illumina 单端高通量测序技术优于 454 高通量测序技术.

关键词:硫酸盐还原菌; 硫氧化菌; 高通量测序; 克隆文库; 沉积物

中图分类号: X172 文献标识码: A 文章编号: 0250-3301(2018)01-0438-12 DOI: 10.13227/j. hjkx, 201705054

Analysis of Sulfate-Reducing and Sulfur-Oxidizing Prokaryote Community Structures in Marine Sediments with Different Sequencing Technologies

 $ZHANG\ Yu^{1,2,3}\ ,\ MI\ Tie-zhu^{1,2,3}\ ,\ ZHEN\ Yu^{1,2,3*}\ ,\ CHEN\ Ye^{2,3,4}\ ,\ FU\ Lu-lu^{2,3,4}\ ,\ WANG\ Xun-gong^{1,2,3}$

(1. College of Environmental Science and Engineering, Ocean University of China, Qingdao 266100, China; 2. Key Laboratory of Marine Environment and Ecology, Ministry of Education, Qingdao 266100, China; 3. Laboratory for Marine Ecology and Environmental Science, Qingdao National Laboratory for Marine Science and Technology, Qingdao 266071, China; 4. College of Marine Life Science, Ocean University of China, Qingdao 266003, China)

Abstract: Sulfate-reducing prokaryotes (SRP) and sulfur-oxidizing prokaryotes (SOP) play vital roles in the sulfur cycle. The SRP community was used to represent a microbial community with high richness and diversity. The 454 pyrosequencing, Illumina high-throughput sequencing, and traditional clone library methods that target the dissimilatory sulfite reductase β subunit gene (dsrB), which encodes a key enzyme in the sulfate reduction pathway, were used to compare the differences in SRP community characteristics. Comparative analyses suggested that Illumina high-throughput sequencing was a more appropriate method for SRP (high richness and diversity) community studies. The SOP soxB gene (\sim 750 bp) was used as a representative of the long-sequence segment. The 454 pyrosequencing and Illumina high-throughput sequencing methods were used to compare the differences in SOP community characteristics. The results revealed that 454 pyrosequencing did not reflect its advantage of a longer read length; whereas, the Illumina high-throughput sequencing with more numerous and shorter sequence reads was more suitable when the soxB gene was used to investigate the community composition and diversity of SOP.

Key words: sulfate-reducing prokaryotes (SRP); sulfur-oxidizing prokaryotes (SOP); high-throughput sequencing; clone library; sediments

海洋沉积物是集化学物质和微生物于一体的特殊生态环境,广阔的海域面积为微生物提供重要的栖息地,微生物的分布和代谢活动也影响着沉积物中碳、氮、硫等生源要素的生物地球化学循环. 其中硫酸盐还原菌(sulfate-reducing prokaryotes, SRP)和硫氧化菌(sulfur-oxidizing prokaryotes, SOP)是推动海洋硫循环的主要微生物. 异化型亚硫酸盐还原酶(dissimilatory sulphite reductase, DSR)在 SRP的硫酸盐还原过程中起着关键的催化作用,其 β 亚基

基因(*dsrB*)是广泛用于环境样品中 SRP 分子检测的标记基因^[1~4]; *soxB* 基因是硫化物氧化过程中的关键基因,广泛分布于 SOP 菌群中^[5],且已被用于

收稿日期: 2017-05-07; 修订日期: 2017-07-20

基金项目: 国家自然科学基金项目(41521064,41620104001); 中国 科学院海洋生态与环境科学重点实验室项目; 青岛海洋 科学与技术国家实验室海洋生态与环境科学开放基金项 目(KLMEES201601)

作者简介: 张玉(1987~), 女,博士研究生,主要研究方向为海洋环境生态学, E-mail: zhangyu201413@163. com

* 通信作者,E-mail:zhenyu@ouc.edu.cn

多种生境中 SOP 群落信息的研究[6~9].

20世纪90年代,相对简便易行的 Sanger 测序成为第一代测序技术的代表,以此为基础逐步发展起来的聚丙烯酰胺凝胶(DGGE)技术和克隆文库技术在微生物分子生态学研究中得到了广泛应用. 随着测序技术的不断发展,以 Roche 454 和 Illumina 测序平台为主的新一代测序技术(next generation sequencing, NGS),又称为高通量测序技术,因其通量高、成本低、准确度高等特点,已迅速发展成为微生物生态学研究的主要方法,极大拓宽了环境微生物研究的深度和广度[10~14].

尽管高通量测序技术在测序通量方面具有明显 的优势,但这一技术的出现并不完全排斥第一代测 序技术. 比较分析不同技术方法的优劣,是合理进 行微生物分子生态学研究的基础. 近年来,已陆续 有研究者采用 454 高通量测序技术、Illumina 高通 量测序技术和传统分子生物学技术(克隆文库与 DGGE 技术)对人类粪便^[15]、土壤^[16]、油田^[17]、泥 炭藓^[18]、生物滤池^[19]、烟叶表面^[20]、白酒^[21,22]等 环境中的微生物群落结构进行了分析,比较了不同 研究方法在微生物群落结构分析中的适用性,结果 表明高通量测序技术能够更加全面和准确地反映环 境中微生物群落信息. 此外, 贺惠等(未发表数据) 通过克隆文库、454 和 Illumina 高通量测序技术研 究了海洋沉积物中多样性水平较低的氨氧化细菌群 落组成和多样性,并对3种技术方法所得结果进行 比较分析,结果表明3种测序方法从优到劣依次为 Illumina 高通量测序技术、454 高通量测序技术、克 隆文库技术. 整体而言,上述研究均是针对于基因 片段较短或多样性水平较低的某种微生物群落(如 氨氧化细菌)进行的研究. 而不同研究方法在多样 性水平较高和基因片段较长的功能菌群群落信息研 究中的适用性却未见报道.

在以往的研究中,根据 dsrB 基因序列分析,SRP 群落可划分成 647 个 OTUs^[1],与其它微生物类群如 氨氧化细菌相比,SRP 的物种丰富度和多样性水平相对较高^[23].而 SOP 种类繁多,功能各异,分布广泛,且在系统发育和生理代谢方面也具有较高的多样性^[24],与氨氧化细菌相比,SOP 同样属于高多样性水平类群. SoxB 基因作为多数 SOP 类群的标记基因,其 PCR 扩增片段长度通常为 750 bp^[5],与目前常用于高通量测序的基因片段相比,soxB 基因片段相对较长.

本研究以 dsrB 和 soxB 为目的基因,分别采用克

隆文库技术、454 高通量测序技术和 Illumina 高通量测序技术研究东海表层沉积物中 SRP 和 SOP 群落组成、多样性,比较不同测序技术在分析 SRP 和 SOP 菌群特征中的优劣,以期为环境中高多样性微生物类群的分子生态学研究提供参考.

1 材料与方法

1.1 样品的采集与保存

于 2011 年 7 月底至 8 月初乘"润江"号科研考察船对东海海域进行调查,用箱式采泥器采集沉积物样品,采样站点为 S31(122.55°E,29.56°N),见图 1. 样品采集后,刮取表层 4 cm 样品,分装于无菌密封袋中,并保存在 - 80℃用于基因组 DNA 提取.

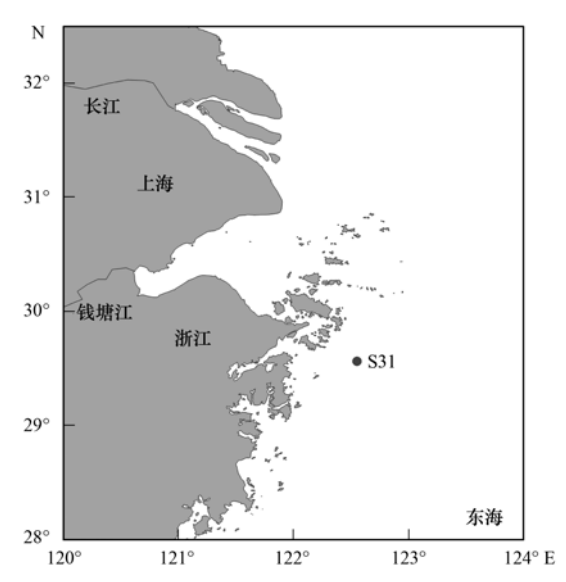


图 1 东海海域表层沉积物采样站位

Fig. 1 Sampling site of surface sediments from the East China Sea

1.2 沉积物微生物基因组 DNA 提取

将沉积物解冻混匀后,利用 DNA 抽提试剂盒 PowerSoil® DNA Isolation Kit(MOBIO,美国)提取总 DNA,并将得到的 DNA 保存于 -20℃冰箱.

1.3 克隆文库构建及生物信息学分析

1.3.1 克隆文库构建

将提取的基因组 DNA 作为 PCR 扩增的模板,使用引物 DSR-p2060F(5'-CAA CAT CGT YCA YAC CCA GGG)和 DSR-4R(5'-GTGTAG CAG TTA CCG CA) [25] 扩增 dsrB 基因,长度约 380 bp. PCR 反应条件为:94℃/10 min;94℃/30 s,55℃/40 s,72℃/1 min,35 个循环;72℃/10 min. 反应结束后用 1% 琼脂糖凝胶电泳检测扩增结果,并用 DNA 胶回收试剂 盒(宝生物,大连)纯化目标产物. 采用 pMD18-T vector Kit(宝生物,大连)进行连接,并转化人大肠

杆菌(Escherichia coli) Trans 5α 感受态细胞,克隆在 Luria-Bertani 培养基上培养.

通过蓝白斑方法筛选出阳性克隆后,用通用引物 M13F(-47)和 M13R(-48)进行菌落 PCR,1% 琼脂糖凝胶电泳检测插入片段大小,将随机挑选的含有正确插入片段的 100 个克隆子送去测序(华大基因,北京).

1.3.2 生物信息学分析

将得到的序列首先提交到 GenBank 数据库,利用在线检测工具 VecScreen 检测嵌合体,用 Mothur 软件将去除嵌合体后的有效序列按照大于或等于90%的相似性归类到同一OTU,筛选出每个OTU的代表序列,并生成稀释曲线,计算克隆文库的Chao1、Shannon和覆盖度指数.

1.4 454 高通量测序及生物信息学分析

1.4.1 454 高通量测序

分别使用带 barcode 的特异引物 DSR-p2060F/DSR-4R(引物序列同上)和 SoxB693F(5'-ATC GGN CAR GCN TTY CCN TA)/SoxB1445B(5'-CAT GTC NCC NCC RTG YTG) $[^{26]}$ 扩增 dsrB (~ 380 bp)和 soxB (~ 750 bp)基因. PCR 反应条件为: 98%/5 min; 98%/30 s,55%/40 s,72%/1 min, 32 个循环; 72%/7 min. 使用 1.5% 浓度的琼脂糖凝胶电泳检测 PCR 产物,并使用胶回收试剂盒(Axygen,AP-GX-250)对 PCR 产物进行纯化,然后将 PCR 纯化产物稀释、等量混合. 文库制备完成且检测合格后使用 Roche 454 GS FLX +测序仪对 dsrB 和 soxB 基因进行扩增子高通量测序(派森诺生物科技有限公司,上海).

1.4.2 数据质控及分析

使用 QIIME(Version 1.9.0)对原始序列进行质量过滤. 将含模糊碱基、引物错配、碱基质量得分小于 20 及长度较低的序列等予以剔除,得到高质量序列. 使用 Uparse 在 90% 序列相似度下对 dsrB 和 soxB 基因高质量序列进行 OTU 聚类,并选取每个OTU 的代表序列. 使用 QIIME 计算每个样品的Chao1、Shannon 和覆盖度指数,并绘制稀释曲线.

1.5 Illumina 高通量测序及生物信息学分析

1.5.1 Illumina 高通量测序

以基因组 DNA 为模板,分别使用带 barcode 特异性引物和高效高保真的酶及酶和缓冲液(Phusion® High-Fidelity PCR Master Mix with GC Buffer, New England Biolabs)对 dsrB 基因和 soxB 基因进行扩增(扩增引物同上). PCR 反应条件为:

98℃/1 min; 98℃/10 s, 50℃/30 s, 72℃/30 s, 30 个循环; 72℃/5 min. 将 PCR 产物等浓度混合后使用 2% 浓度的琼脂糖凝胶进行电泳检测,并使用胶回收试剂盒(GeneJET, Thermo Scientific)进行纯化. 使用建库试剂盒(NEB Next® Ultra™ DNA Library Prep Kit)进行文库构建. 文库检测合格后,使用Illumina HiSeq PE250 进行上机测序(诺禾致源生物信息科技有限公司,北京). 由于 Illumina 平台所得序列有效长度通常在 400 bp 以内,而本文所使用 soxB 基因的引物扩增序列长度较长(~750 bp),因此本研究仅对该基因两端的序列进行测序,并不对两端序列进行拼接,并将该测序过程定义为 Illumina 单端高通量测序.

1.5.2 数据拼接、质控及分析

根据 dsrB 和 soxB 基因的 barcode 序列和 PCR 扩增引物序列拆分下机数据,去除引物及 barcode 序列后使用 FLASH(V1.2.7)对 dsrB 基因的双端序列进行拼接. 利用 Qiime 对拼接后的 dsrB 基因序列和未经拼接的 soxB 基因的两端序列分别进行质控.将碱基质量得分小于 20 的序列及片段长度较低的序列等予以剔除,得到高质量序列. 使用 Uparse 在90% 序列相似度下对 dsrB 和 soxB 基因高质量序列进行 OTU 聚类,并选取每个 OTU 的代表序列. 使用QIIME 计算每个样品的 Chaol、Shannon 和覆盖度指数,并绘制稀释曲线.

1.6 基因序列登录号

将高通量测序所得 dsrB 和 soxB 基因序列上传至 NCBI Sequence Read Archive(SRA)数据库,登录号分别为 SRP101534 (dsrB)、SRP101417 (soxB/HiSeq)和 SRP077086 (soxB/454). 克隆文库测序所得 dsrB 基因序列提交至 GenBank 数据库,登录号为 KC567991~KC568065.

2 结果与分析

2.1 硫酸盐还原菌(SRP)群落结构分子多样性研究技术的比较

2.1.1 硫酸盐还原菌(SRP)群落多样性的比较

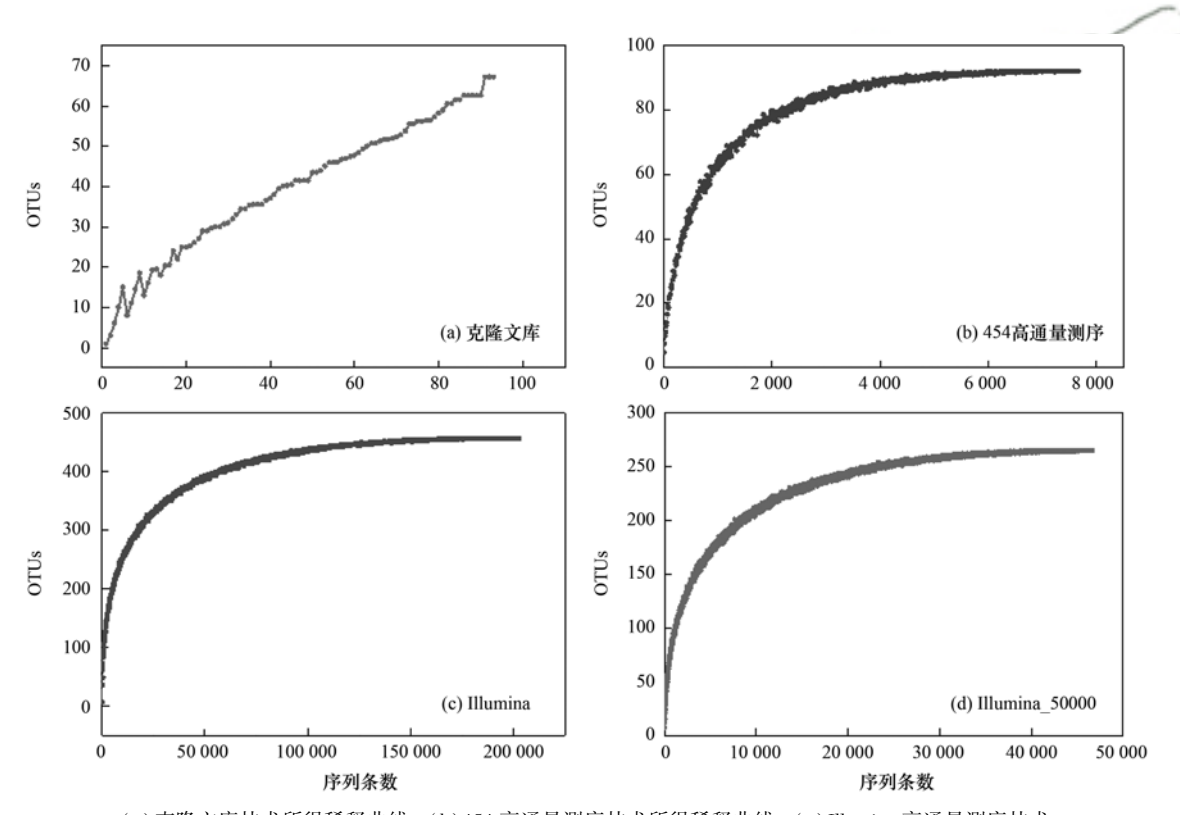
本研究运用 3 种测序技术对 SRP 群落多样性 及其组成进行研究. 由于本研究中 Illumina 测序平 台所获序列条数远高于目前常用测序通量(5 万条 序列),因此从 Illumina 高通量测序所得序列中随机 抽取 5 万条序列作为原始数据,与上述 3 种方法所 得序列同时进行比较分析. 由表 1 可知,高通量测 序技术所获序列条数远高于克隆文库技术,这为充 分揭示环境中 SRP 群落信息奠定了基础. 进一步分析发现,随着测序通量的增加,检测到的 OTU 数随之增加, SRP 群落丰富度(Chao1)和多样性指数(Shannon)也随之增加. 与此类似,王勋功等(未发表数据)对长江口邻近海域沉积物微生物群落的比较分析及 Huse 等[27]在对人类粪便样品微生物群落的研究中也发现,随着序列条数的增加,OTU 数随之增加. 此外,对不同研究方法所得覆盖度(表1)

和样品稀释曲线(图 2)进行分析可知,454 和Illumina高通量测序技术所得覆盖度值高达 100% 且稀释曲线[图 2(b)~2(d)]已趋于饱和,说明测序数量足够,能够较全面反映样品中 SRP 群落的多样性水平,而克隆文库技术所得覆盖度为 79.57% 且稀释曲线[图 2(a)]仍处于上升阶段,说明该测序深度仅涵盖了样品中的部分 SRP 类群,不足以全面反映该样品中 SRP 群落的多样性水平.

表 1 不同研究方法所得 SRP 多样性及序列信息

Table 1 Information for the sequences and diversity of SRP obtained from high-throughput sequencing and the traditional clone library

研究方法	高质量 序列条数	平均序列 长度/bp	OTU 个数	Chao1 指数	Shannon 指数	覆盖度 /%
克隆文库	93	~ 350	33	67	2. 99	79. 57
454 高通量测序	8114	~ 338	92	92	3. 11	100.00
Illumina(50000)	50000	~ 334	265	265	4. 32	100.00
Illumina 高通量测序	210844	~ 334	457	457	4. 51	100.00



(a) 克隆文库技术所得稀释曲线;(b)454 高通量测序技术所得稀释曲线;(c) Illumina 高通量测序技术测序通量为210 844时所得稀释曲线;(d) Illumina 高通量测序技术测序通量为50 000时所得稀释曲线

图 2 不同研究方法所得硫酸盐还原菌菌群稀释曲线

Fig. 2 Rarefaction curves of the SRP community obtained from high-throughput sequencing and the traditional clone library

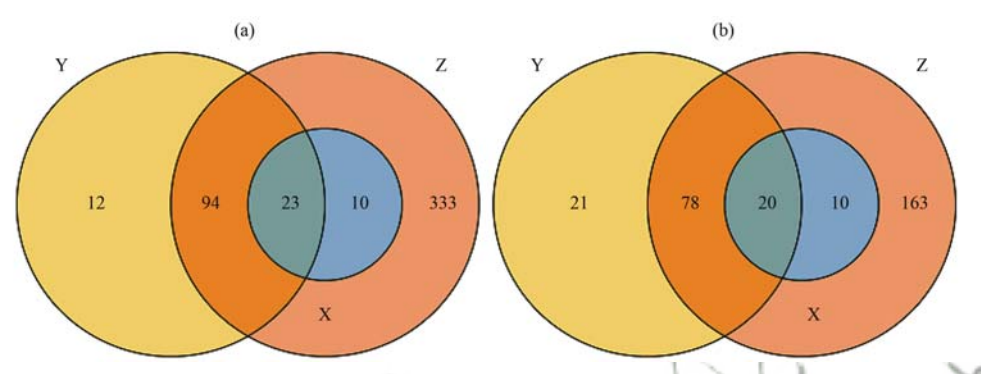
2.1.2 硫酸盐还原菌(SRP)群落组成的比较

将克隆文库技术、454 高通量测序技术和Illumina 高通量测序技术(210844)所得 dsrB 基因序列合并,按照 90% 相似性进行 OTU 聚类,并利用 Venn 图分析不同研究技术所得 OTUs 之间的关系 [图 3(a)]. 此外,本研究从 Illumina 高通量测序所

得 dsrB 基因序列中随机抽取 5 万条序列作为原始数据,与克隆文库技术和 454 高通量测序技术所得 dsrB 基因序列合并,按照上述分析方法同时进行比较分析[图 3(b)]. 两种研究结果均表明,Illumina 高通量测序技术所得 OTUs 信息均能完整覆盖克隆文库技术所检测到的所有 OTUs,并能覆盖 82%以

上 454 高通量测序技术所检测到的 OTUs. Illumina 测序通量为 210844 时, Illumina 和 454 高通量测序技术各自独有的 OTUs 个数分别是 333 和 12 个; Illumina 测序通量为 5 万时, Illumina 和 454 高通量测序技术各自独有的 OTUs 个数分别是 163 和 21个; 进一步分析中发现所有独有 OTU 的相对丰度均小于1%. 由此可见,两种测序深度下, Illumina 高通量测序技术能够检测到更多的 SRP 类群, 特别是

低丰度 SRP 类群. 此外, Illumina 测序通量为 210844 时[图 3(a)], 3 种研究方法所检测到的 OTUs 共有 23 个, 且其丰度所占比例分别是 82.02%(克隆文库)、78.37%(454)、57.35%(Illumina_210844); Illumina 测序通量为 5 万时, 3 种研究方法所检测到的 OTUs 共有 20 个, 且其丰度 所占比例分别是 81.40%(克隆文库)、78.15%(454)、57.95%(Illumina_50000).



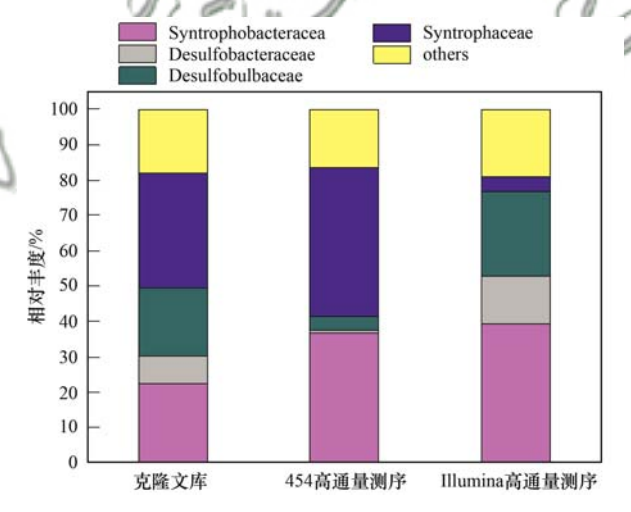
所用研究方法为克隆文库技术、454 高通量测序技术和 Illumina 高通量测序技术,其中(a)、(b)中 Illumina 高通量测序技术的测序通量分别为 210844 和 50000; X:克隆文库技术; Y:454 高通量测序技术; Z:Illumina 高通量测序技术

图 3 不同研究方法所得 OTUs 分布 Venn 图

Fig. 3 Venn graph of OTUs obtained from high-throughput sequencing and the traditional clone library

分别筛选出3种研究方法所得优势 OTUs 类 群「将高通量测序所得序列丰度低于1%的 OTU 及克隆文库所得序列数低于2(即相对丰度低于 2.25)的 OTU 归为 others],并将这些优势类群 OTU 的代表序列与已知 SRP 进行比对及注释,进 一步分析不同研究方法所得 SRP 群落组成差异. 在科分类水平上(图4),3种测序技术的结果均表 明该研究海域 SRP 优势类群为互营杆菌科 (Syntrophobacteracea)、互营菌科(Syntrophaceae)、 脱 Desulfobulbaceae 、 硫 杆 菌 (Desulfobacteraceae).但不同研究方法所得优势类 群的相对丰度并不一致.

在 OTU 水平上(表 2),克隆文库技术检测到的主要优势类群分别是 OTU1(21.35%)和 OTU90(20.22%),其中 OTU1 在 454 高通量测序技术和Illumina 高通量测序技术的结果中也是主要的优势菌群,且相对丰度分别高达 36.57%(454)和35.00%(Illumina).但 OTU90 在两种高通量测序技术中所检测到的丰度均小于 1%,说明克隆文库技术可能高估了该类群丰度.对于高通量测序技术中所检测到的一些主要类群,如 OTU5、OTU9、OTU16、OTU09、OTU18、OTU19、OTU42、OTU41和 OTU45 在克隆文库技术中并未检测到,这可能是



others:将高通量测序所得序列相对丰度低于 1%的 OTU 及克隆文库所得序列数低于 2(即相对丰度低于 2.25)的 OTU 归为 Others

图 4 科分类水平上 SRP 的相对丰度分析

Fig. 4 Relative abundance of SRP at the family level

由于该技术的测序通量较低,测序结果存在一定的随机性,从而不能准确反映 SRP 群落组成及丰度状况. 此外,454 和 Illumina 高通量测序技术所检测到的 SRP 菌群也存在一定差异,如在 454 高通量测序技术中检测到的部分 SRP 优势类群,如 OTU10 (33.28%)、OTU41(1.90%)、OTU19(1.81%),在

表 2 OTU 分类水平上 SRP 群落组成的相对丰度分析1)

Table 2 Relative abundance analysis of the SRP

community structure at the OTU level

OTH		相对丰度	
OTU	克隆文库	454 高通量测序	Illumnia 高通量测序
OTU1	21. 35	36. 57	35. 00
OTU90	20. 22	0.09	0. 03
OTU3	6. 74	0.04	5. 64
OTU22	5. 62	0.12	0.75
OTU12	4. 49	0.05	0. 79
OTU2	3. 37	_	9. 84
OTU4	3. 37	_	3.49
OTU11	3. 37	0.03	0.71
OTU28	3. 37	_	0. 44
OTU10	2. 25	33. 28	0. 21
OTU48	1. 12	0.03	4. 25
OTU6	1. 12	2. 62	3. 46
OTU21	1. 12	0.09	1. 93
OTU7	1. 12	_	1. 63
OTU8	1. 12	0.05	1. 50
OTU29	1. 12	1.31	0. 21
OTU37	1. 12	1.37	0. 12
OTU5	_	0.01	2. 69
OTU9	_	0.03	2. 28
OTU16	_	0. 19	2. 19
OTU109	- /	0.58	1. 48
OTU18	-//	0. 78	1,16
OTU19	(M)	1.81	0.43
OTU42	7	1.43	0.30
OTU41	(A)	1. 90	0.14
OTU45	10 10	1. 10	0. 12
others	17. 98	16. 45	19. 21

1)"一":未检测到(相对丰度为0); others:将高通量测序所得序列相对丰度低于1%的 OTU 及克隆文库所得序列数低于2(即相对丰度低于2.25)的 OTU 归为 others

Illumina 高通量测序技术中也有发现,但所检测到的相对丰度均小于 1%;在 Illumina 高通量测序技术中检测到的主要 SRP 类群(OTU2、OTU4、OTU28和 OTU7)则在 454 高通量测序技术并未检测到.

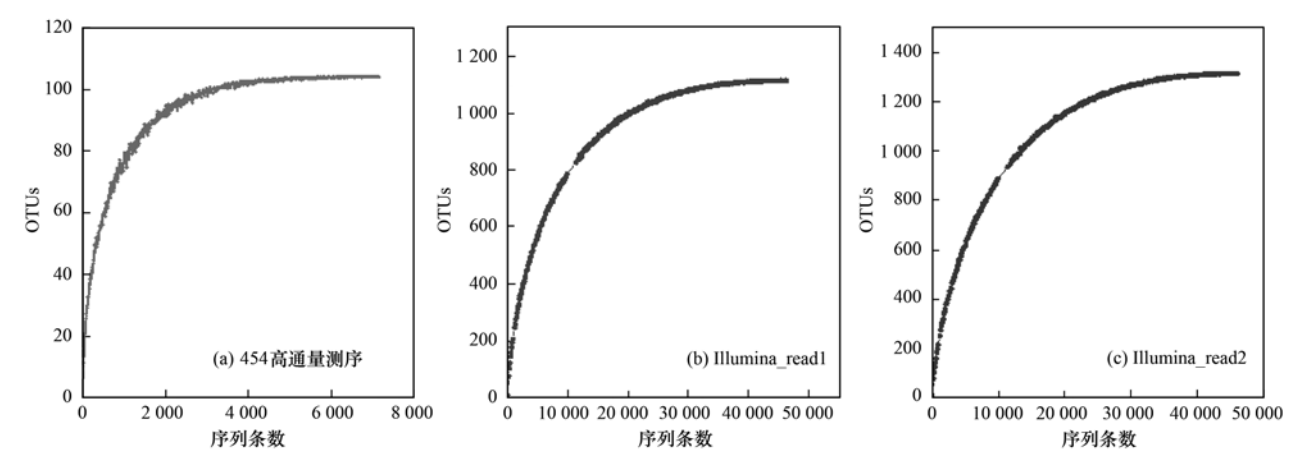
2.2 硫氧化菌(SOP)群落分子多样性研究技术的 比较

2.2.1 硫氧化菌(SOP)群落多样性的比较

针对 SOP 的关键功能基因 soxB,通过 454 和 Illumina 单端高通量测序技术对 SOP 群落组成及多样性进行比较分析. 不同研究方法所得 SOP 群落多样性及序列信息如表 3 所示. 454 高通量测序技术 所得序列长度明显高于 Illumina 单端高通量测序技术 就,而 Illumina 单端高通量测序技术 的测序通量远高于 454 高通量测序技术,且其所检测到的 SOP 丰富度及多样性指数也均高于 454 高通量测序技术.由不同测序平台所得的稀释曲线(图 5)及覆盖度可知,两种测序技术均能完整有效地反映出样品中 SOP 的多样性信息.

2.2.2 硫氧化菌(SOP)群落组成的比较

将 OTUs 代表序列与 NCBI (National Center for Biotechnology Information)数据库进行比对注释,并将两种研究方法检测到的 SOP 类群进行比较分析(表4),结果表明 Illumina 单端高通量测序方法所检测到的 SOP 类群更广泛. 分析不同研究方法所获序列的物种注释结果发现(图 6),在 454 高通量测序结果中,26.6%的 OTUs(丰度为 47%)获得了注释信息;在 Illumina 单端高通量测结果中,前端序列(read1)中 12.9%的 OTUs(丰度为 32.7%)获得了注释信息,末端序列(read2)中12.3%的OTUs(丰



(a)454 高通量测序技术所得稀释曲线; (b)Illumina 高通量测序技术所得前端序列(read1) 生成的稀释曲线; (c)Illumina 高通量测序技术所得后端序列(read2)生成的稀释曲线

图 5 不同研究方法所得硫氧化菌菌群稀释曲线

Fig. 5 Rarefaction curves of the SRP community obtained from high-throughput sequencing and the traditional clone library

表 3 不同研究方法所得硫氧化菌群落多样性及序列信息

Table 3 Information regarding the sequences and diversity of SOP obtained

from high-throughput sequencing and the traditional clone library

研究方法	高质量 序列条数	平均序列 长度/bp	OTU 个数	Chao1 指数	Shannon 指数	覆盖度 /%
454 高通量测序	12100	~ 551	104	104	4. 46	100.00
Illumina 单端高通量测序(read1)	54555	~ 222	1114	1114	6. 14	100.00
Illumina 单端高通量测序(read2)	53883	~ 222	1314	1314	6. 22	100.00

表 4 不同研究方法所得硫氧化菌群落信息汇总

Table 4 Taxa information for SOP using different methods

研究方法	门	纲	目	科	属	种
454 高通量测序	4	7	12	16	24	25
Illumina 单端高通量测序(read1)	4	7	19	30	65	83
Illumina 单端高通量测序(read2)	4	6	19	31	66	83

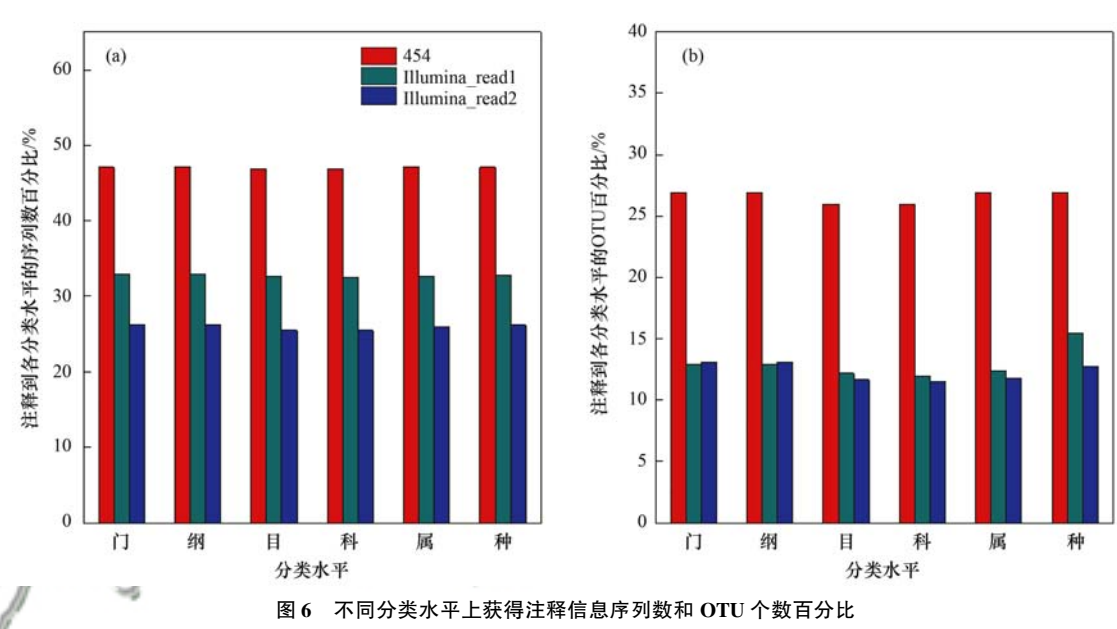


Fig. 6 Percentage of OTUs and abundance at different taxonomic levels

度为25.9%)序列获得了注释信息.此外,两种研究方法所得绝大多数序列(53.0%~74.1%)均未获得注释信息,并且未得到注释信息的序列既包含丰度较高的优势类群也包含丰度较低的稀有类群.

如图 7 所示,在门分类水平上,两种研究方法均 检测 到 变 形 菌 门(Proteobacteria)、绿 菌 门 (Chlorobi)、螺旋体门(Spirochaeta)和绿弯菌门 (Chloroflexi)这 4 个门类,其中变形菌门相对丰度最 高(20.15% ~ 30.06%),其它门类相对丰度均较 低. 变 形 菌 门 是 由 α -Proteobacterium、 γ -Proteobacterium 和 β -Proteobacterium 所组成(图 8), 其中 α -Proteobacterium 在 454 高通量测序结果中的 丰度远高于其在 Illumina 高通量测序结果 结果中的丰度远低于其在 Illumina 高通量测序结果

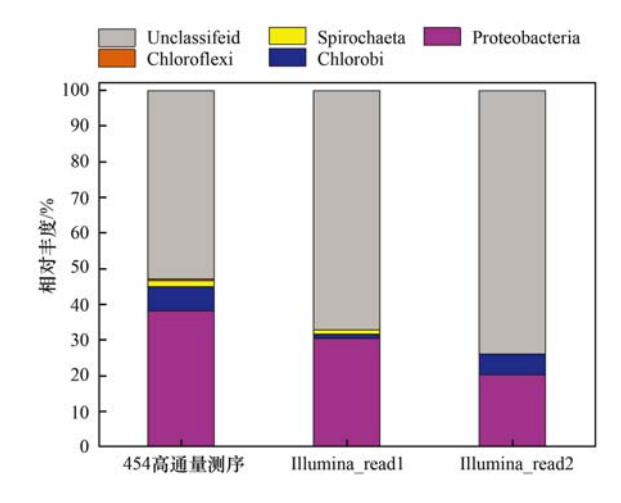


图 7 门分类水平上物种相对丰度

Fig. 7 Relative abundance of species at the phylum level 中的丰度.

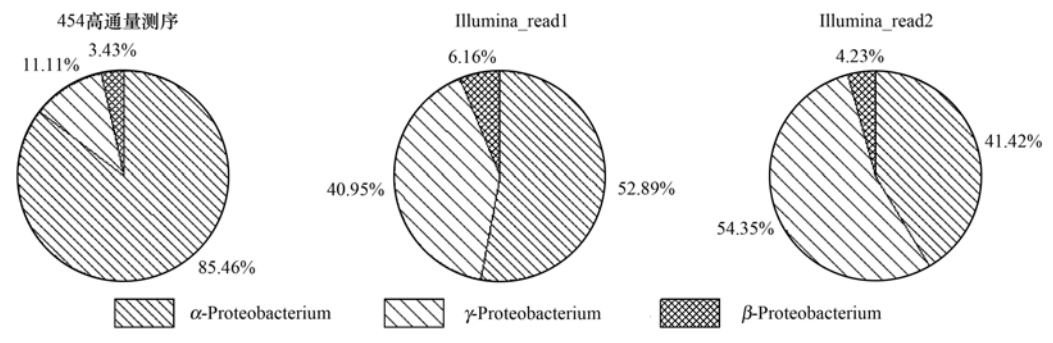


图 8 变形菌门纲分类水平上物种相对丰度分布

Fig. 8 Relative abundance of Proteobacteria at the class level

在科分类水平上,本研究将相对丰度大于 1%的 SOP 类群定义为优势类群,低于 1%的定义为低丰度类群^[28].对 454 和 Illumina 单端高通量测序所得到的科分类水平上 SOP 优势类群进行分析(表 5),结果表明 Illumina 单端高通量测序结果read1 中检测到的优势类群最为丰富(7 个),且

454 高通量测序技术所检测到的优势类群(5个)在 Illumina 单端高通量测序结果 read1 中均有发现,但 Illumina 单端高通量序结果 read2 中所检测到优势类群最少(2个),且与 454 高通量测序检测结果以及 Illumina 高通量测序结果 read1 差异均较大.

表 5 不同研究方法所得硫氧化菌优势科信息汇总

Table 5 Information regarding the dominant SOP at the family level obtained by different methods

	Table 3	illioilliation regal	iding the dominant 501 at the	raining level obtained	i by different methods		
	454 高通量测序		Illumina 单端高通量测序	(read1)	Illumina 单端高通量测序(read2)		
	SOP 类群	丰度/%	SOP 类群	丰度/%	SOP 类群	丰度/%	
	Bradyrhizobiaceae	27. 90	Bradyrhizobiaceae	7. 62	Chromatiaceae	6.46	
	Chromatiaceae	9. 90	Chromatiaceae	2.44	Rhodobacteraceae	1.18	
	Rhodobacteraceae	3. 57	Rhodobacteraceae	1. 20	2 2		
(Spirochaetaceae	1.71	Spirochaetaceae	1. 23	1 0	(-1	
	Comamonadaceae	1.1	Comamonadaceae	1,47	1 500	N 9 %	
	11 10 1	1 (Rhizobiaceae	5. 34	-71		
	30 100	/ V	Xanthobacteraceae	1,51		3/	

对 454 和 Illumina 单端高通量测序所得到 SOP 类群进行 OTU 水平上的比较分析,同时将相对丰度大于1%的 OTUs 定义为优势类群,低于1%的 OTUs 统一用 others 表示,结果发现 454 高通量测序共检测到 16 个优势类群,是全部 OTUs 的 15.24%,相对丰度为83.93%; Illumina 单端高通量测序所检测到的优势类群分别为 12 个(read1)和 13 个(read2),分别占全部 OTUs 的 1.08% (read1)和 0.99% (read2),相对丰度分别为 63.90% (read1)和 64.08% (read2).此外,绝大多数丰度较高的 OTUs 未获得注释信息,且两种研究方法所得优势 OTUs 的分类存在差异(图 9).

3 讨论

以 PCR 为基础的 DGGE 和克隆文库技术是目前常用的微生物分子生态学研究手段,已经广泛应用于不同生境中 SRP 和 SOP 菌群的组成和多样性分析^[8,25,29-31],在一定程度上呈现了 SRP 及 SOP 菌

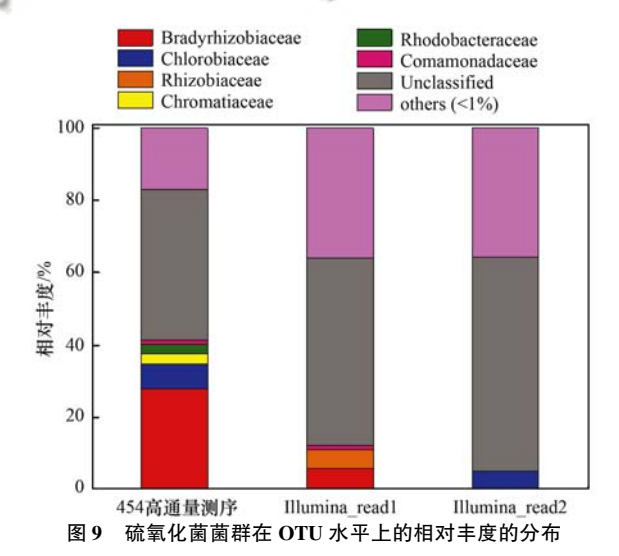


Fig. 9 Relative abundance of SOP at the OTU level

群的较高多样性及分布的广泛性. 但由于克隆文库和 DGGE 技术所得序列条数通常在几十至一百多之间,使其对物种丰富度和多样性较高的 SRP 和 SOP 菌群的覆盖度较低,很难全面、真实地反映出

环境中 SRP 和 SOP 的群落信息. 如 Jiang 等^[32]对珠江口沉积物中 SRP 群落的垂直分布及多样性的研究发现,利用克隆文库技术所得表层沉积物中 dsrAB 基因的有效序列仅能覆盖 64%的 SRP 类群; He 等^[33]和 Zhang 等^[34]对长江口表层沉积物中 SRP 群落结构的研究发现,通过克隆文库技术所获得的 dsrB 基因的有效序列条数分别能覆盖 73. 49%~87. 76%和 56%~64%的 SRP 类群. 与此类似, Yousuf 等^[35]对河口沉积物中 SOP 群落的研究发现,通过克隆文库技术所得的 aprA 基因和 soxB 基因的序列数分别能覆盖 67%~75%和 75%~86%的 SOP 类群. 454和 Illumina高通量测序技术所测序列条数通常在几千、甚至几万条以上,这为全面分析微生物群落信息提供了可能.

在本研究中,454 和 Illumina 高通量测序技术所 获 dsrB 基因序列条数远远高于克隆文库技术所得 的几十条序列,并且克隆文库技术覆盖度较低 (79.57%),而高通量测序技术覆盖度高达 100.00%.此外,454 和 Illumina 高通量测序技术所 检测到的 SRP 菌群的 OTUs 数、多样性指数及丰富度指数均高于克隆文库技术.由此可见,克隆文库技术仅能揭示沉积物中部分 SRP 菌群的多样性信息,而高通量测序技术则能更加全面和准确地反映 SRP 多样性信息.这一结果与以往研究结果相一致^[16,18,19].值得注意的是,对于一些多样性水平较低、群落组成相对简单的微生物类群如厌氧氨氧化细菌^[36,37]、氨氧化细菌^[38,39]而言,克隆文库技术仍是其群落组成和多样性研究的有效方法.

在本研究中,3 种研究方法所检测到的 SRP 优 势类群在门及科分类水平上基本一致,而在 OTU 分 类水平上差异较大,如克隆文库技术检测发现 OTU90(20.22%)是仅次于 OTU1 的优势类群,而在 454 和 Illumina 高通量测序技术的检测中的 OTU90 的相对丰度均小于1%,说明克隆文库技术可能高 估了该类群的丰度. 同时,对454 和 Illumina 高通量 测序技术中所检测到的一些主要类群,在克隆文库 技术中并未检测到,这可能是由于后者的测序通量 较低,且所获序列信息存在一定的随机性,从而使得 部分 SRP 类群很难被检测到. 值得注意的是,在 Illumina 高通量测序中检测到的部分主要 SRP 类群 在 454 高通量测序中并未检测到,同时在 454 高通 量测序结果中检测到的 SRP 优势类群 OTU10 (33.28%) 在 Illumina 高通量测序中其丰度小于 1%. Huang 等[40] 利用 16S rRNA 基因的 454 和 Illumina 高通量测序技术对饮用水中潜在致病菌进行研究发现,454 高通量测序技术并没有检测到低丰度类群,而测序通量较高的 Illumina 高通量测序技术可以覆盖低丰度类群. 此外,克隆文库技术、454 高通量测序技术和 Illumina 高通量测序均是基于 PCR 扩增产物的测序,而 PCR 扩增过程也存在一定的偏好性,这可能也是导致 3 种研究方法之间差异的原因之一.

整体而言,Illumina 高通量测序技术所得 OTUs 信息能完整覆盖克隆文库技术所检测到的所有 OTUs,并能覆盖 82%以上 454 高通量测序技术所检测到的 OTUs. Illumina 高通量测序技术所检测到的 独有 OTUs 个数远高于 454 高通量测序技术,且所有独有 OTU 均为低丰度(<1%)类群. 由此可见,对于物种丰富度和多样性水平较高的 SRP 群落的研究,Illumina 高通量测序技术优于 454 高通量测序技术和克隆文库技术,特别在低丰度物种的检测方面具有明显优势.

454 和 Illumina 作为目前市场主流的高通量测 序平台,两者各有其优点和不足之处. 在测序通量 上,Illumina 高通量测序技术(通常为5万条序列) 优于454高通量测序技术(通常为1万条序列),而 在测序读长上,454 高通量测序技术(通常不高于 600 bp)则优于 Illumina 高通量测序技术(通常不高 于400 bp). 在本研究中,454 高通量测序技术所得 soxB基因平均序列长度(~551 bp)是 Illumina 单端 高通测序所得 soxB 基因片段长度(~222 bp)的 2 倍,而 Illumina 单端高通测序所得 soxB 基因序列条 数是 454 高通量测序技术所得 soxB 基因序列条数 的 4.5 倍. 相对较高的测序通量使得 Illumina 单端 高通量测序技术所检测到的 SOP 的 OTUs 个数、丰 富度及多样性指数也均高于454高通量测序技术, 同时使得 Illumina 高通量测序方法所检测到的 SOP 类群更广泛.

本研究中,在门分类水平上,454 和 Illumina 单端高通量测序技术所检测到 SOP 类群相一致,变形菌门丰度最高(20.15%~30.06%),绿菌门、绿弯菌门和螺旋体门相对丰度均较低. 对科分类水平上 SOP 优势类群进行分析发现,Illumina 单端高通量测序结果 read1 中检测到的优势类群在 Illumina 单端高通量测序结果 read1 中均有发现,但 Illumina 单端高通量测序结果 read2 与 read1 及 454 高通量测序检测结果差异均较大. Claesson 等[15]通过 454 和

Illumina 高通量测序技术对人体排泄物中细菌群落 (16S rRNA 基因)组成进行比较分析发现,在门分类水平上两种研究方法的检测结果基本一致,而在属分类水平上两种研究方法的检测结果差异较大.此外,Claesson 等[15]还发现细菌 16S rRNA 基因不同扩增区域对高通量测序结果影响要大于不同研究方法对高通量测序结果的影响.与此类似,在本研究中,soxB 基因片段的长度为 750 bp,基于不同研究方法所测基因片段的平均长度可知,454 高通量测序技术所测 soxB 基因序列是前端 551 bp,Illumina 单端高通量测序技术所测 soxB 基因序列分别是前端 250 bp(read2),因此,454高通量测序技术所得序列信息和 Illumina 单端高通量测序技术的前端序列信息(read1)相似性更高,因此在群落组成上也更相似.

总体而言,454 高通量测序技术在读长上的优 势并未体现出来,而读长较短,通量较高的 Illumina 测序技术在分析 SOP 群落多样性及物种组成时要 优于 454 高通量测序,而且 Illumina 高通量测序技 术的前端序列信息(read1)要优于其末端序列信息 (read2). Maughan 等^[41]在利用 454 和 Illumina 高通 量测序技术对囊胞性纤维症患者的痰样本中细菌群 落信息进行比较分析发现,Illumina 高通量测序技术 在物种注释方面要优于 454 高通量测序技术; Albertsen 等[42] 研究也表明 Illumina 高通量测序平 台能够为研究功能基因提供更多的序列信息. 此 外,也有报道指出,尽管454高通量测序平台的测序 读长较长,但其测序错误率是 Illumina 高通量测序 平台的 10 倍[43,44]; 且有研究表明,尽管 454 高通量 测序技术所得基因序列片段较长,但该长片段包含 有高保守性区域,而这些区域对微生物群落信息的 研究并没有很大贡献[41].

4 结论

- (1)基于克隆文库技术、454 高通量测序技术和 Illumina 高通量测序技术对高丰富度和高多样性 SRP 的群落组成及多样性进行比较分析发现, Illumina 高通量测序技术优于 454 高通量测序技术和克隆文库技术,特别在低丰度物种的检测方面 Illumina 高通量测序技术具有明显优势.
- (2)以 SOP soxB 基因作为长片段基因代表,基于 454 高通量测序技术和 Illumina 单端高通量测序技术对 SOP 群落组成和多样性进行比较分析发现,454 高通量测序技术在读长上的优势并未体现出

来,而 Illumina 单端高通量测序技术优于 454 高通量测序技术,且 soxB 基因的 Illumina 高通量测序技术的前端序列信息(read1)要优于末端序列信息(read2).

致谢:"润江"号调查船全体工作人员为调查工作提供了大量帮助和支持,特此致谢.

参考文献:

- [1] Müller A L, Kjeldsen K U, Rattei T, et al. Phylogenetic and environmental diversity of *DsrAB*-type dissimilatory (bi) sulfite reductases[J]. The ISME Journal, 2015, **9**(5): 1152-1165.
- [2] Islamud-Din, El-Latif Hesham A, Ahmad A, et al. PCR-DGGE and real-time PCR dsrB-based study of the impact of heavy metals on the diversity and abundance of sulfate-reducing bacteria [J]. Biotechnology and Bioprocess Engineering, 2014, 19(4): 703-710
- [3] Pavloudi C, Oulas A, Vasileiadou K, et al. Diversity and abundance of sulfate-reducing microorganisms in a Mediterranean lagoonal complex (Amvrakikos Gulf, Ionian Sea) derived from dsrB gene[J]. Aquatic Microbial Ecology, 2017, 79(3): 209-219.
- [4] Cui J, Chen X P, Nie M, et al. Effects of spartina alternifloral invasion on the abundance, diversity, and community structure of sulfate reducing bacteria along a successional gradient of coastal salt marshes in China[J]. Wetlands, 2017, 37(2): 221-232.
- [5] Meyer B, Imhoff J F, Kuever J. Molecular analysis of the distribution and phylogeny of the soxB gene among sulfuroxidizing bacteria-evolution of the Sox sulfur oxidation enzyme system [J]. Environmental Microbiology, 2007, 9 (12): 2957-2977.
- [6] Kojima H, Watanabe T, Iwata T, et al. Identification of major planktonic sulfur oxidizers in stratified freshwater lake[J]. PLoS One, 2014, 9(4): e93877.
- [7] Tourna M, Maclean P, Condron L, et al. Links between sulphur oxidation and sulphur-oxidising bacteria abundance and diversity in soil microcosms based on soxB functional gene analysis [J]. FEMS Microbiology Ecology, 2014, 88(3): 538-549.
- [8] Thomas F, Giblin A E, Cardon Z G, et al. Rhizosphere heterogeneity shapes abundance and activity of sulfur-oxidizing bacteria in vegetated salt marsh sediments [J]. Frontiers in Microbiology, 2014, 5: 309.
- [9] 于皓, 陈川, 张莉, 等. 溶解氧对碳氮硫共脱除工艺中微生物群落影响解析[J]. 环境科学, 2013, **34**(6): 2368-2374. Yu H, Chen C, Zhang L, *et al*. Effect of dissolved oxygen on microbial community in simultaneous removal of carbon, nitrogen and sulfur process[J]. Environmental Science, 2013, **34**(6): 2368-2374.
- [10] Zhu D C, Tanabe S H, Yang C, et al. Bacterial community composition of South China Sea sediments through pyrosequencing-based analysis of 16S rRNA genes [J]. PLoS One, 2013, 8(10); e78501.
- [11] Jiang X T, Peng X, Deng G H, et al. Illumina sequencing of 16S rRNA tag revealed spatial variations of bacterial communities in a mangrove wetland [J]. Microbial Ecology, 2013, 66(1): 96-104.
- [12] 杨浩,张国珍,杨晓妮,等. 16S rRNA 高通量测序研究集雨

- 窖水中微生物群落结构及多样性[J]. 环境科学, 2017, 38 (4): 1704-1716.
- Yang H, Zhang G Z, Yang X N, et al. Microbial community structure and diversity in cellar water by 16S rRNA high-throughput sequencing [J]. Environmental Science, 2017, 38 (4): 1704-1716.
- [13] 乔沙沙, 周永娜, 柴宝峰, 等. 关帝山森林土壤真菌群落结构与遗传多样性特征[J]. 环境科学, 2017, **38**(6): 2502-2512.
 - Qiao S S, Zhou Y N, Chai B F, et al. Characteristics of fungi community structure and genetic diversity of forests in Guandi Mountains $[\,J\,]$. Environmental Science, 2017, $38\,(\,6\,)$: 2502-2512.
- [14] 邸琰茗,王广煊,黄兴如,等. 再生水补水对河道底泥细菌群落组成与功能的影响[J]. 环境科学,2017,38(2):743-751.
 - Di Y M, Wang G X, Huang X R, et al. Effect of reclaimed water on bacterial community composition and function in urban river sediment [J]. Environmental Science, 2017, 38(2): 743-751
- [15] Claesson M J, Wang Q, O'Sullivan O, et al. Comparison of two next-generation sequencing technologies for resolving highly complex microbiota composition using tandem variable 16S rRNA gene regions [J]. Nucleic Acids Research, 2010, 38 (22): e200.
- [16] 夏围围, 贾仲君. 高通量测序和 DGGE 分析土壤微生物群落的技术评价 [J]. 微生物学报, 2014, 54(12): 1489-1499.
 - Xia W W, Jia Z J. Comparative analysis of soil microbial communities by pyrosequencing and DGGE [J]. Acta Microbiologica Sinica, 2014, 54(12): 1489-1499.
- [17] 伊丽娜. 新疆油田典型区块内源微生物菌群分析及功能菌群研究[D]. 廊坊: 中国科学院研究生院(渗流流体力学研究所),2014.
 - Yi L N. Analysis on indigenous microbial community and functional bacteria of typical block in Xinjiang Oilfield [D]. Langfang: University of Chinese Academy of Sciences (Institute of Porous Flow and Fluid Mechanics), 2014.
- [18] 向兴. 神农架大九湖泥炭湿地细菌和古菌多样性研究[D]. 武汉: 中国地质大学, 2015.
 - Xiang X. Biodiversity of bacteria and archaea in Dajiuhu peatland, Shennongjia [D]. Wuhan: China University of Geosciences, 2015.
- [19] 蔡言安, 李冬, 毕学军, 等. 基于不同测序技术的生物群落 结构及功能菌分析[J]. 中国环境科学, 2016, **36**(6): 1830-1834.
 - Cai Y A, Li D, Bi X J, et al. Analysis of microbial community structure and functional bacteria in a biofilter with different sequencing technologies [J]. China Environmental Science, 2016, 36(6): 1830-1834.
- [20] 龚俊,刘玉配,李媛媛. 烟叶表面微生物类群两种检测方法的比较研究[J]. 华东师范大学学报(自然科学版),2016,(3):92-101.
 - Gong J, Liu Y P, Li Y Y. Comparative analysis of microbial communities on tobacco leaves between clone library and high-throughput sequencing [J]. Journal of East China Normal University (Natural Science), 2016, (3): 92-101.

- [21] 陈玲, 袁玉菊, 曾丽云, 等. 16S rDNA 克隆文库法与高通量测序法在浓香型大曲微生物群落结构分析中的对比研究 [J]. 酿酒科技, 2015, (12): 33-36, 40.

 Chen L, Yuan Y J, Zeng L Y, et al. 16S rDNA clone library vs. high-throughput sequencing method in the analysis of the microbial communities in Nongxiang Daqu [J]. Liquor-Making
- [22] 黄莹娜, 熊小毛, 胡远亮, 等. 基于 PCR-DGGE 和高通量测序分析白云边酒窖泥细菌群落结构与多样性[J]. 微生物学通报, 2017, **44**(2): 375-383.

 Huang Y N, Xiong X M, Hu Y L, *et al*. Bacterial community and diversity in pit mud of Baiyunbian liquor analyzed by PCR-DGGE and high-throughput sequencing[J]. Microbiology China,

Science & Technology, 2015, (12): 33-36, 40.

- 2017, **44**(2): 375-383. [23] 贺惠. 乳山湾邻近海域沉积物中好氧氨氧化微生物分子生态 学研究[D]. 青岛:中国海洋大学, 2016.
- [24] Ghosh W, Dam B. Biochemistry and molecular biology of lithotrophic sulfur oxidation by taxonomically and ecologically diverse bacteria and archaea[J]. FEMS Microbiology Reviews, 2009, 33(6): 999-1043.
- [25] Geets J, Borremans B, Diels L, et al. DsrB gene-based DGGE for community and diversity surveys of sulfate-reducing bacteria [J]. Journal of Microbiological Methods, 2006, 66(2): 194-205.
- [26] Petri R, Podgorsek L, Imhoff J F. Phylogeny and distribution of the soxB gene among thiosulfate-oxidizing bacteria [J]. FEMS Microbiology Letters, 2001, 197(2): 171-178.
- [27] Huse H M, Welch D B M, Sogin M L. The Science and Applications of Microbial Genomics [M]. Washington, DC: National Academies Press, 2012. 188-207.
- [28] Galand P E, Casamayor E O, Kirchman D L, et al. Ecology of the rare microbial biosphere of the Arctic Ocean [J]. Proceedings of the National Academy of Sciences of the United States of America, 2009, 106(52): 22427-22432.
- [29] Luo J F, Lin W T, Guo Y. Functional genes based analysis of sulfur-oxidizing bacteria community in sulfide removing bioreactor [J]. Applied Microbiology and Biotechnology, 2011, 90(2): 769-778.
- [30] Guan J, Zhang B L, Mbadinga S M, et al. Functional genes (dsr) approach reveals similar sulphidogenic prokaryotes diversity but different structure in saline waters from corroding high temperature petroleum reservoirs[J]. Applied Microbiology and Biotechnology, 2014, 98(4): 1871-1882.
- [31] 罗丽, 刘永军, 王晓昌. 石油集输系统中硫酸盐还原菌的分布和多样性[J]. 环境科学, 2010, **31**(9): 2160-2165. Luo L, Liu Y J, Wang X C. Distribution and diversity of sulfate-reducing bacteria in a crude oil gathering and transferring system [J]. Environmental Science, 2010, **31**(9): 2160-2165.
- [32] Jiang L J, Zheng Y P, Peng X T, et al. Vertical distribution and diversity of sulfate-reducing prokaryotes in the Pearl River estuarine sediments, southern China [J]. FEMS Microbiology Ecology, 2009, 70(2): 249-262.
- [33] He H, Zhen Y, Mi T Z, et al. Community composition and distribution of sulfate-and sulfite-reducing prokaryotes in sediments from the Changjiang estuary and adjacent East China Sea[J]. Estuarine, Coastal and Shelf Science, 2015, 165: 75-85.

- [34] Zhang Y, Zhen Y, Mi T Z, et al. Molecular characterization of sulfate-reducing bacteria community in surface sediments from the adjacent area of Changjiang Estuary [J]. Journal of Ocean University of China, 2016, 15(1): 107-116.
- [35] Yousuf B, Kumar R, Mishra A, et al. Unravelling the carbon and Sulphur metabolism in coastal soil ecosystems using comparative cultivation-independent genome-level characterisation of microbial communities [J]. PLoS One, 2014, 9 (9): e107025.
- [36] Fu B B, Liu J W, Yang H M, et al. Shift of anammox bacterial community structure along the Pearl Estuary and the impact of environmental factors [J]. Journal of Geophysical Research: Oceans, 2015, 120(4): 2869-2883.
- [37] Hou L J, Zheng Y L, Liu M, et al. Anaerobic ammonium oxidation (anammox) bacterial diversity, abundance, and activity in marsh sediments of the Yangtze estuary[J]. Journal of Geophysical Research: Biogeosciences, 2013, 118(3): 1237-1246.
- [38] Chen Y Y, Zhen Y, He H, *et al.* Diversity, abundance, and spatial distribution of ammonia-oxidizing β-Proteobacteria in sediments from Changjiang estuary and its adjacent area in East China Sea[J]. Microbial Ecology, 2014, **67**(4): 788-803.

- [39] He H, Zhen Y, Mi T Z, et al. Community composition and abundance of ammonia-oxidizing archaea in sediments from the Changjiang estuary and its adjacent area in the East China Sea [J]. Geomicrobiology Journal, 2016, 33(5): 416-425.
- [40] Huang K L, Zhang X X, Shi P, et al. A comprehensive insight into bacterial virulence in drinking water using 454 pyrosequencing and Illumina high-throughput sequencing [J]. Ecotoxicology and Environmental Safety, 2014, 109: 15-21.
- [41] Maughan H, Wang P W, Caballero J D, et al. Analysis of the cystic fibrosis lung microbiota via serial Illumina sequencing of bacterial 16S rRNA hypervariable regions[J]. PLoS One, 2012, 7(10): e45791.
- [42] Albertsen M, Hansen L B S, Saunders A M, et al. A metagenome of a full-scale microbial community carrying out enhanced biological phosphorus removal [J]. The ISME Journal, 2012, 6(6): 1094-1106.
- [43] Glenn T C. Field guide to next-generation DNA sequencers [J].
 Molecular Ecology Resources, 2011, 11(5): 759-769.
- [44] Luo C W, Tsementzi D, Kyrpides N, et al. Direct comparisons of Illumina vs. Roche 454 sequencing technologies on the same microbial community DNA sample[J]. PLoS One, 2012, 7(2): e30087.



HUANJING KEXUE

Environmental Science (monthly)

Vol. 39 No. 1 Jan. 15, 2018

CONTENTS

Variation of O ₃ Concentration in Different Regions of Beijing from 2006-2015 Source Apportionment of Black Carbon Aerosol in the North Suburb of Nanjing Seasonal Characteristics and Ecological Risk Assessment of Heavy Metals in PM ₁₀ Around Electroplating Plants Characteristics of Organic and Elemental Carbon in PM ₁₀ and PM _{2.5} in Yulin City, Guangxi Concentrations and Compositions of Different Forms of Nitrogen and Phosphorus in Atmospheric Aerosols in the Qingdao Coastal Region	·············· XIAO Si-han, YU Xing-na, ZHU Bin, et ··· ZHAO Zhen-li, ZHAO Wei-tuo, HUANG Ting, et HUANG Jiong-li, CHEN Zhi-ming, MO Zhao-yu, et	al. (al. (al. (9) 18))
Solicination and Composition of Education Commission and Education Commission and Composition Commission Commi	····· ZHANG Rui-feng. OI Jian-hua. DING Xue. et	al. (38	,
Air Quality Subarea Management: A case study of Guangdong Province	···· YANG Liu-lin, LI Min-hui, LIAO Cheng-hao, et	al. (49))
Remote Sensing Identification of Urban Black-Odor Water Bodies Based on High-Resolution Images: A Case Study in Nanjing	····· WANG Kang, RAN Ning, LIN Zhong-bing, et	al. (57) 68))
Estimation of and Control Strategies for Pollution Loads from Non-point Sources in the Chenghai Watershed Distribution Characteristics and Health Risk Assessment of Metals in Drinking Water Sources from the Luhun Reservoir				
Distribution Characteristics and Health Risk Assessment of Antibiotics in the Water Supply System in Tianjin Organic Distribution Characteristics and Influence on Drinking Water Quality in the Typical Water Sources for Towns in the Southwest	ZHANG Xin-bo, SONG Zi, ZHANG Dan, et Hilly Area of China	al. (99))
	WANG Qiong, LI Nai-wen, LI Lei, et	al. (109)	,
Health Risk Evaluation of Organochlorine and Organophosphorous Pesticides in Groundwater in Beijing Pollution Status and Risks of Dioxin-like Polychlorinated Biphenyls in the Soil of the Yellow River	YAO Hong, LU Shuang, ZHANG Xu, et	al. (117) 123)	1
Effects of Flooding and Drying on the Transformation of Soil Inorganic Phosphorus in the Water-Level-Fluctuating Zone of the Three Go	orges Reservoir, China	 al (130)	
Effect of Phosphate on the Ammonium Removal Performance of Iron-Manganese Co-oxide Film in Surface Water Treatment				
ZHUO				
Enhanced Photoelectrocatalytic Oxidation of Cu(CN) ² / ₃ and Synchronous Cathodic Deposition of Cu by Peroxydisulfate	··· DANG Cong-zhe, LI Yi-bing, WANG Yan-bin, et	al. (145)	
Using HKUST-1 as a Template for Copper Oxides Preparation to Activate Peroxymonosulfate for RhB Degradation Evaluation of Performance of an Aminated Rosin-based Resin for Adsorption of Norfloxacin from Aqueous Solutions				
Arsenic (V) Removal by Granular Adsorbents Made from Backwashing Residuals from Biofilters for Iron and Manganese Removal				
Arsenic Adsorption and Its Species on Ferrihydrite and Ferrihydrite Colloid	MA Yu-ling, MA Jie, CHEN Ya-li, et	al. (179	,
Comparison of Amphoteric-Cationic and Amphoteric-Anionic Modified Magnetic Bentonites - Characterization and Sorption Canacity of I	Phenol			
Somparion of Traphotoco Catomic and Traphotoco Transition Sequence Scientific, Catamic Traphotoco Capacity of A	\cdots REN Shuang, MENG Zhao-fu, WANG Teng, et	al. (187)	,
Pollution Characteristics of Parabens in Typical Sewage Wastewater				
Influence of Hydraulic Retention Time on the Treatment of Polluted River Water by an Activated Carbon Rotating Biological Contactor	XU Wen-jia, CHENG Xiao-y	ying (202)	
Removal and Influence of Ciprofloxacin in a Membrane Bioreactor	DAI Qi, LIU Rui, SHU Xiao-ming, et	al. (212)	
Operation of the AAO Process Under Low Dissolved Oxygen Conditions and Its Simulation Inhibitory Effects of Phosphate and Recovery on a Nitrification System	CHICK CHENE . LLY	meı (219)	
Effect of Carbon Source on Lab-scale SAD Process in a Wastewater Treatment Plant	II Dong ZHAO Shi-yun WANG Jun-on at	al. (221)	
Effect of Volume Loading Rate (VLR) on Denitrifying Phosphorus Removal by the ABR-MBR Process	Iİİ Liang YOL Wen WEL lia-min et	al (239 \	
Combined Process of DNBF-O ₃ -GAC for Nitrogen and Phosphorus and Metabolite Advanced Removal	ZHONG Li-van, HAO Rui-xia, WANG Wei-dong, et	al. (247	,
Influence of Operating Modes for the Alternating Apoxic/Oxic Process on Riological Nitrogen Removal and Extracellular Polymeric Sub-	stances of Activated Sludge			
S	UN Hong-wei, CHEN Cui-zhong, WU Chang-feng, et	al. (256)	1
Effects of Nanoscale Zero-valent Iron (nZVI) on Denitrifying Performance of an Upflow Granular Sludge Bed Reactor	···· ZHOU Feng, WANG Fan-fan, QIAN Fei-yue, et	al. (263)	,
$Influence\ on\ Desulfurization\ Efficiency\ and\ Interactions\ of\ Fe/S\ and\ pH\ During\ H_2S\ in\ situ\ Depression\ of\ High\ Solid\ Anaerobic\ Digestration and\ PH\ During\ H_2S\ in\ situ\ Depression\ of\ High\ Solid\ Anaerobic\ Digestration and\ During\ H_2S\ in\ situ\ Depression\ of\ High\ Solid\ Anaerobic\ Digestration and\ During\ H_2S\ in\ situ\ Depression\ of\ High\ Solid\ Anaerobic\ Digestration\ Digestrati$				
Analysis of Storage Sludge Composition Characteristics and Evolutionary Regularity in the Hunhe River Basin	····· LIU Tian-tian, CUI Chong-wei, HE Jun-guo, et	al. (276)	
Enhancement of Anaerobic Methane Production by Removal of Organic-bonding Metals from Sewage Sludge				
Comparison of Different Leaching Methods for Heavy Metals in Sludge Fly Ash and Comprehensive Toxicity Evaluation				
Diurnal Variations of CH ₄ and N ₂ O Fluxes from the Drained Aquaculture Pond in the Minjiang River Estuary During Early Winter Effects of Three Soil Amendments on Greenhouse Gas Emissions From Corn Fields in the Hetao Irrigation District				
Effect of Organic Manure Substitution of Synthetic Nitrogen on Crop Yield and N_2O Emission in the Winter Wheat-Summer Maize Rota			310)	
	HOU Miao-miao, LÜ Feng-lian, ZHANG Hong-tao, et	al. (321)	į
Dynamics of Rice Photosynthesized Carbon Input and Its Response to Nitrogen Fertilization at the Jointing Stage: 13C-CO ₂ Pulse-labelin	ng	••••		
	··· CHEN Shan, ZHU Zhen-ke, YUAN Hong-zhao, et	al. (331)	1
Profile Distribution of Soil Organic and Inorganic Carbon Under Different Land Use Types in the Loess Plateau of Northern Shaanxi				
Effect of Biochar on Ammonia Volatilization from Soils of Different Surface Conditions				
Effects of Straw and Biochar Return in Soil on Soil Aggregate and Carbon Sequestration				
Assessment of the Availability of Soil Copper and Related Influencing Factors at a County Scale				
Application of the LUR Model in the Prediction of Spatial Distributions of Soil Heavy Metals ZI				
Pollution Characteristics and Source Apportionment of Polycyclic Aromatic Hydrocarbons in Soils of Shenyang North New Area				
Distribution and Accumulation of Cadmium in Paddy Soil and Rice Affected by Pollutant Sources Control and Improvement Measures				
Differences in Cd Accumulation in Typical Soils Under the Double Rice System				
Distribution Characteristics of Mercury in Reed Leaves from the Jiapigou Gold Mine in the Songhua River Upstream				
Effect of Nitrate Amendment on Soil Denitrification Activity and Anthracene Anaerobic Degradation				
Effects of Long-term Fertilization Regimes on Microbial Biomass, Community Structure and Activity in a Paddy Soil	····· WANG Wei-hua, LIU Yi, TANG Hai-ming, et	al. (
Analysis of Sulfate-Reducing and Sulfur-Oxidizing Prokaryote Community Structures in Marine Sediments with Different Sequencing Technology	chnologies		100	
Seasonal and Spatial Variations of Microcystins and Their Relationships with Physiochemical and Biological Factors in Poyang Lake		••••		
ocasona and operati variations of interocyclis and from relationships with Injurentented and Diological relation in Fojang Zance	······ YUAN Li-juan, LIAO Qie-gen, ZHANG Li. et	al. (450	ļ
Distribution of Multidrug-Resistant Bacteria and Antibiotic-Resistant Genes in Livestock Manures				
Influence of Air Pollution Control (APC) Systems and Furnace Type on the Characteristics of APC Residues from Municipal Solid Was	ste Incinerators			
	ZHANG Hua, YU Si-yuan, SHAO Li-ming, et	al. (467)	1